

鋼中微量酸可溶アルミナの発光分光分析

Vacuum Emission Spectroscopic Analysis of Acid Soluble Alumina in Steel

住友金属工業(株) 和歌山製鉄所 山路 守*・平松 茂人・渡辺 隆志
(株)島津製作所 第二科学計測事業部 福井 真・大森 敬久・湯浅 周治

1. 緒言

発光分光法による溶鋼中のSo1A1分析は、PDA測光法の開発で分析精度は飛躍的に向上してきた。

近年の高品質鋼への指向が推進されている背景のなかで、製鋼の操業技術は日進月歩であるが、発光分光分析計での微量酸可溶アルミナ(So1A1)分析は、炉外精錬中の種々の介在物が混入することにより、分析精度は芳しくなかった。

すなわち、従来のPDA測光法では、比較的So1A1含有量が低く(<0.020%)かつ、酸不溶アルミナ(InSo1A1)含有量が相対的に高い試料のSo1A1は、InSo1A1の影響を受け、正確なSo1A1分析値を得るのが困難であった。

そこで、酸素分析が可能な発光分光器を使用して、So1A1とInSo1A1が態別定量可能なデータ処理法を検討し、一応の知見が得られたので報告する。

2. 実験方法

2.1 分析計および分析線波長

(A) 分析計 島津製作所製 PDA-5017型
(ホログラフィック型回折格子)

(B) 分析線波長 Al: 396.1 nm, 394.4 nm
O: 130.2 nm
Mg: 280.2 nm
Ca: 393.3 nm

2.2 供試料

炉外精錬中から任意に取出したポンプ試料を用いた。
成分表は表-1に示す通りである。

なお、供試料の研磨は汚染防止を図るために、
ダイヤモンドによる鏡面仕上げとした。

Table-1 Contents of alumina in test samples

No	A	B	No	A	B
1	90	140	11	10	30
2	150	T. r	12	50	40
3	120	20	13	20	110
4	130	T. r	14	210	60
5	60	80	15	80	T. r
6	160	T. r	16	20	70
7	10	180	17	20	50
8	90	100	18	60	130
9	30	T. r	19	60	180
10	50	10	20	110	T. r

A: Soluble alumina
B: Insoluble alumina

2.3 実験データの採取

発光条件は、Special Combined Sparkを用いてAl、O、Mg、Caについて各々2000パルス放電し、各元素パルスの生強度を解析データとした。

3. 結果および考察

3.1 A1分析線波長の選択

396.1 nmと394.4 nmの分析線について、BEC値の比較を行った結果
396.1 nm--約 75 ppm
394.4 nm--約 150 ppm であるため、396.1 nmの分析線波長を採用した。

3. 2 In Sol Al が Sol Al に及ぼす影響について

図-1に、In Sol Al 含有量が高低別の試料について、時間とともに絶対強度が変化していくパルス図を示す。

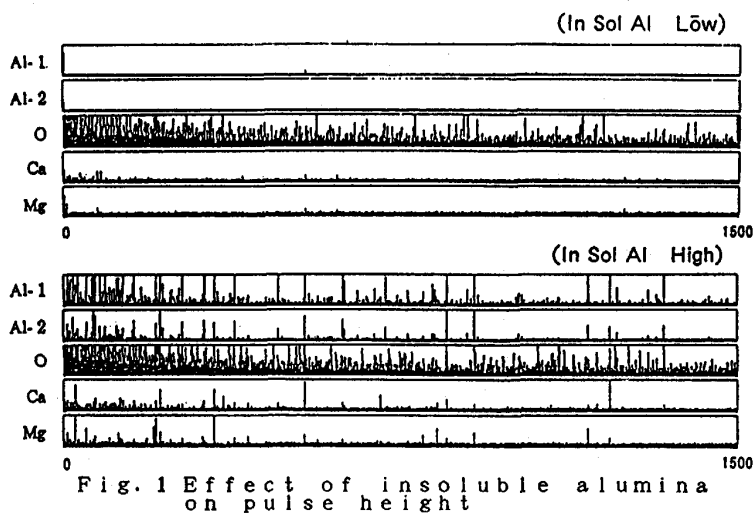


Fig. 1 Effect of insoluble alumina on pulse height

図-1上段のIn Sol Al含有量が低値な試料のAlと酸素の相関変化を見ると、酸素は放電初期に高く徐々に減少するが、Al強度は放電初期から変化していない。また、Ca, Mgについては放電後期には安定した強度が得られる。従って、酸素はSi, Ti等の結合しているものと推測できる。

下段のIn Sol Al含有量が高値な試料では、Alの強度は放電後期になんでも安定せず、同一放電パルス内でCa, Mgも高い強度を示している。

従って、Al2O3の単独介在物ではなく、複合介在物を形成していると思われる。

3. 3 In Sol Al が高試料のミクロについて

3. 2項の推測を定性的に観察するため、EPMAを使用してマッピングを行った。

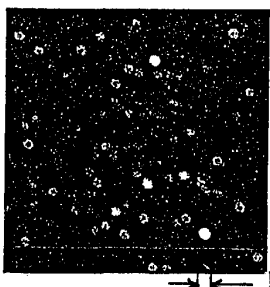


photo-1 Projection of samples containing high insoluble alumina

通常、発光分光分析計の1パルス放電径は、 $30\text{ }\mu$ 程度でありIn Sol Alを多く含有する試料の、In Sol Alは $5\text{ }\mu$ 程度の径で、数多く点在していることが判明した。

このことから、1パルス放電毎に不特定なIn Sol Alを含むために、Alの発光強度が安定せず相対的に高い強度になる。

なお、In Sol Al含有量が低値な試料は、マッピング像が薄く酸素との結合は認められなかった。

3. 4 酸素とAlの相関モデル

Sol Al定量時に、In Sol Alが影響することについて、3. 2・3項で説明してきたがさらに、酸素とAlの相関をIn Sol Al含有量レベル別に模索した。

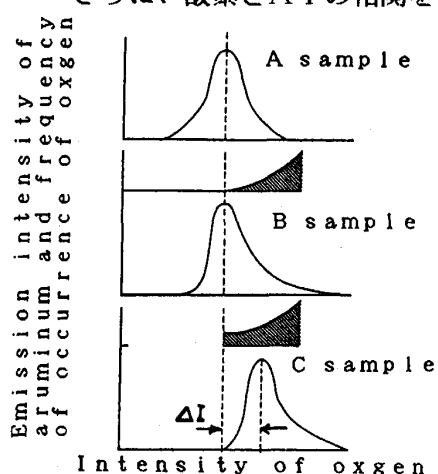


Fig. 2 Model of correlation between oxygen emission intensity and aruminum emission intensity

従来の、PDA測光法による形態別処理では、Sol Alが微量域であっても、In Sol Al含有量が一定濃度まで含有しない試料(A・B試料)は異常値を除去できるため、比較的良好な分析精度が得られる。

しかし、Sol Al含有量が低値でIn Sol Al含有量が相対的に高値な試料(C試料)の酸素強度とAl強度の出現相関をみれば酸素強度は△I分高値側へピークが移動しつつ、酸素を含んだAlの強度が多数存在するため、In Sol Alが不安定となりSol Alの分析精度が悪くなる。

3. 5 実試料による酸素強度とAl強度の相関

3. 4項で示したモデルを実証するため、In Sol Al含有量が低・中・高の3試料について、酸素とAlの相関を試みた。

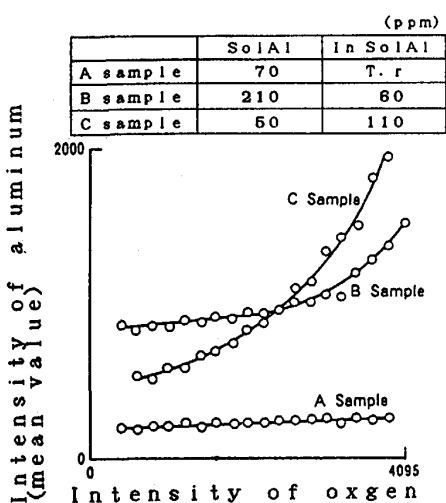


Fig. 3 Correlation between emission intensity of aluminum and that of oxygen

2000パルス生強度を基にして、酸素強度を0~4095の100スパンに分割後(0-100・101-200…4000-4095)、各々スパン内に存在する酸素に対応したAl強度を抽出平均し、横軸に酸素強度、縦軸にAl強度をとった。

なお、3.2項で説明した通り酸化物はAl₂O₃のみでなく、Ca, Mgとも結合しているため、Ca, Mg強度の平均から3σを外れる酸素強度は予め除外した。

次に図-3を考察すれば、

A試料 -- In Sol Alが低値なため、ほぼ直線的な傾向がある。

B試料 -- 酸素強度の高値側では、なだらかな2次曲線となる。

C試料 -- A試料よりSol Al含有量が低値にも拘らず、A試料よりも高いAl強度から始まりかつ、酸素の強度は僅少ながら高値側から始まっている。

これらの現象からも、In Sol Al含有量が増加すれば、Sol Al強度に対して『正』の影響が認められた。

3.6 理論Sol Al強度について

さらに、前述C試料について理論Sol Al強度算出法を説明する。

In Sol Alの影響を除去する考え方として、

- ① In Sol Al含有量が低値な試料のSol Al強度はa点。
- ② In Sol Al含有量が高値になれば、Y軸との交点bがAl強度の高値側へ移動する。

従って、a・b点間の差がIn Sol Al含有量により影響される誤差であり、この差を補正すれば理論Sol Al強度が求められると仮定シミュレーションした。そのシミュレーション方法は、

- ① 酸素強度の70~85%分位置(c点)について、回帰線との垂線上交点dを求める。
- ② 回帰線とd点との接線を求める。

Sol Al理論強度 -- 接線のY軸交点a

In Sol Al理論強度 -- b点-a点とした。

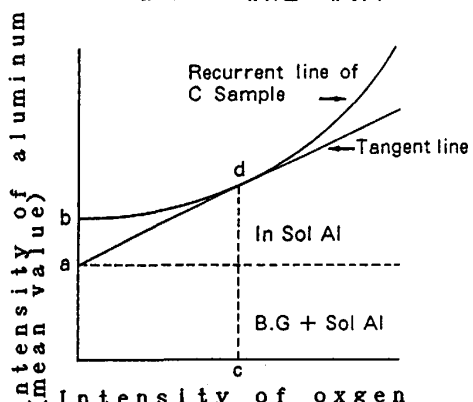


Fig. 4 Procedure of soluble alumina estimation

3.7 理論強度による検量線

3.6項で求めた理論強度を算出し、2.2項の供試料についてSol Al・In Sol Al検量線を作成した結果を図-5に、また理論強度検量線からSol AlとIn Sol Alの相互補正を行った検量線を図-6に示す。

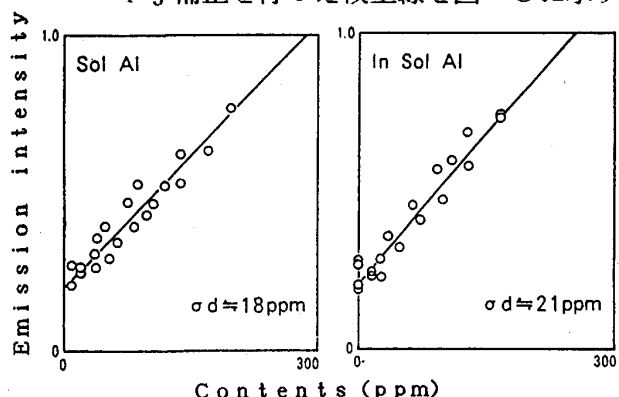


Fig. 5 Calibration curve by this estimation method for soluble and insoluble alumina

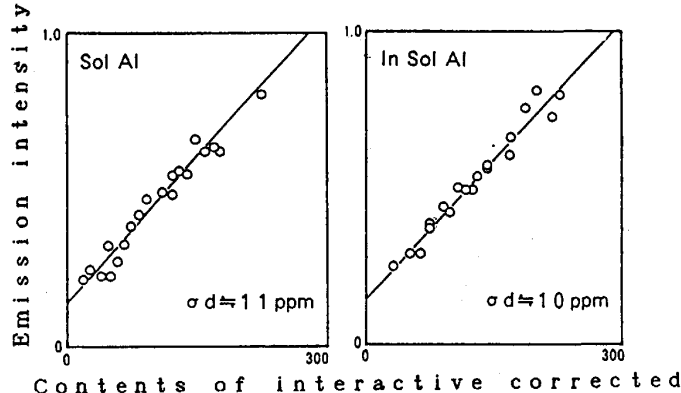


Fig. 6 Calibration curve by interactive correction between soluble and insoluble alumina

4. 結 言

従来の発光分光器では、InSоТAl含有量がSоТAl含有量に比べて相対的に高い試料のSоТAl定量は不可能であったが、過去の経験から酸素とAlの相関に着目し、種々の検討・実験を行った結果、良好な分析精度が得られた。

効果として、① 分析精度の向上 ($\sigma d : a t < 200 \text{ ppm}$ $105 \text{ ppm} \rightarrow 11 \text{ ppm}$)

② 分析時間の短縮 (25分/件 \rightarrow 3分/件)

③ 製鋼プロセスオンライン化への貢献

(SоТAl的中率の向上による高品質鋼溶製体制の確立)

等の初期目的は完遂できた。

以 上